

&lt;技術解說&gt;

# 鹽化物溶液中에서의 鋼의 孔蝕에 대한 小考

張 賢 球\*

## Review on Pitting Corrosion of Steels in Chloride Solution

Hyun K. Chang

### 1. 序論

腐蝕의 여러 가지 形態中에서 孔蝕(pitting corrosion)은 水溶液中에서 金屬材料를 削손시킬 수 있는 危險하고도 一般的인 腐蝕形態이다. 孔蝕이 일어나는가 일어나지 않는가 하는 敏感度(susceptibility)를 試驗할 때 가장 重要한 配慮는 腐蝕率이 아니고 孔蝕이 發生할 수 있는가 없는가 하는 條件이다. 孔蝕이 發生하는 條件에서는 全體의 腐蝕率이 높다고 하더라도 材料는 蠕孔(pit)에 의하여 貫通되어 끗쓰게 되고 만다.

鐵鋼 특히 耐蝕用의 크롬鋼이나 스텐레스鋼은 酸化性 霧圍氣中에서 不働態를 形成하여 材料의 耐蝕性을 向上한다. 그러나 이면 條件下에서 이 不働態가 局部的으로 破壞(breakdown) 될 때, 大部分의 不働態 皮膜은 陰極의 役割을 하고 皮膜이 破壞되어 노출된 局部基點(local site)은 陽極으로 作用하여 一種의 不働態一活性電池(passive-active cell)를 形成하기 때문에 陽極部의 集中的의 蠕蝕을 取る게 된다. 金屬 및 스텐레스鋼의 孔蝕에 對한 綜合의 考察은 Kolotyrkin<sup>1)</sup>, Schwenk<sup>2)</sup>, Uhlig<sup>3)</sup>, Szklarska<sup>4)</sup> 및 梶野<sup>5)</sup> 等에 依하여 發表되었다. 1960年 이래 耐蝕用으로 사용되는 鋼의 孔蝕에 關한 研究는 상당히 많이 進行되었으며 좋은 成果들을 얻고 있다. 最近까지 얻어진 여러 研究結果를 綜合하여 볼으로서 孔蝕의 特性을 把握할 수 있고 그 防止策을 誘導해 낼 수 있다.

鋼에 있어서 孔蝕이 發生하는 條件은 不働態(皮膜)의 破壞라는 觀點에서 材料內의 因子와 材料가 끓이는 霧圍氣因子로 나누어 볼 수 있다. 材料內의 因子는 金屬組織의 不均質性(heterogeneity)과 热力學的 特性이

不働態의 脆弱性에 影響을 미치는 것을 말하며 霧圍氣因子는 水溶液을 形成하는 陰이온 및 陽이온濃度, 溶存酸素, 溫度 및 pH 등의 影響을 말한다.

陰이온中에서 鐵鋼不働態에 가장 侵透性이 있으며 鐵鋼의 使用霧圍氣에 存在하여 問題가 되는 것이 鹽素이온이다.

本考에서는 鹽素이온에 依한 孔蝕理論, 不働態 破壞에 대한 感應時間, 臨界電位 및 孔蝕發生基點(site) 等에 대하여 살펴 보기로 한다.

### 2. 孔蝕의 理論

表面에 安定한 不働態를 形成할 수 있는 鐵鋼의 電氣化學的 狀態는 液中에서의 電極電位 領域에 따라 活性, 不働態 및 過不働態의 3 가지로 區分된다. 活性領域에서는 均一腐蝕이 發生하고 不働態領域에서는 腐蝕率이 거의 零으로 된다. 그러나 鹽素이온과 같은 侵透力이 強한 이온이 存在할 경우에는 Fig. 1과 같이 不働態領域은 좁아지며 더욱 낮은 電位에서 過不働態가 나타나기 시작한다.

이 경우 過不働態가 시작되면서 孔蝕現象이 나타나므로 過不働態로 되기 시작하는 電位를 不働態의 破壞電位(breakdown potential) 또는 臨界電位(critical potential)라고 부른다.

즉 臨界電位 以上에서 不働態는 局部的으로 破壞되어 陽極基點을 形成하며 주위의 深은 陰極部가 存在하므로 一種의 電氣化學的 電池가 形成된다. 蠕孔內의 活性金屬과 그 外側의 不働態와의 電位差는 0.5V 정도 되므로 높은 電流密度로 陽極溶解가 進行된다. 孔蝕은 核生成과 成長過程을 通하여 進行되는데 陽極點發生이 核生成段階이고 溶解과정이 成長段階이다.

\* 成均館大學校 理工大學 金屬工學科 助教授

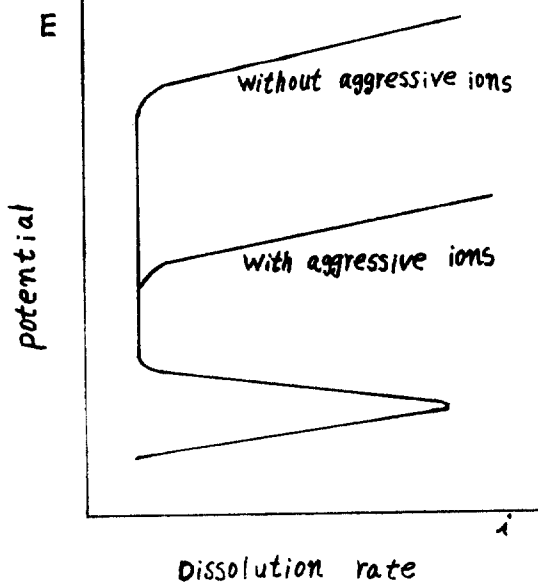


Fig. 1. Schematic Curves showing dependence, of dissolution rate on potential. (Kolotyrkin)

鹽素이온에 依한 不働態의 破壞(孔蝕의 核生成)는 第一段階로 不働態化된 金屬表面上에 鹽素이온이 吸着됨에 起因한다고 할 수 있다.

表面 吸着된 鹽素이온이 어떤 過程을 通하여 不働態를 破壞하는가는 不働態自體의 特性을 보는 見解에 따라서 두가지로 大別할 수 있다. 즉 Hoar는 不働態를 酸化皮膜으로 보아 皮膜破壞의 原理를 貫通說<sup>6)</sup>로 說明하였으며 Uhlig는 不働態를 酸素吸着層으로 보아 不働態의 破壞模型을 競爭吸着說<sup>7)</sup>로 다루었다. 위 두가지 說에 대하여 간단히 살펴 보자.

### 1) 貫通說(penetration theory) 또는 機械的 破壞說(mechanical breakdown theory)

Hoar는 酸化皮膜의 破壞에 對한 自身의 理論을 여러번 補充修正하였다. Hoar, Mears 및 Rothwell<sup>8)</sup>은 孔蝕發生은 酸化皮膜表面上에 吸着된 鹽素이온과 같은 侵透性 陰이온이 電場에 자극되어 皮膜을 通하여 移動해 들어간다고 생각하였다. 皮膜內로 뚫고 들어간 陰이온은 “汚染된 酸化物”을 형성하고 이 酸化物은 큰 이온傳導度를 갖기 때문에 높은 電流密度의 基點을形成한다. 그러므로 어떤 臨界電位值以上에서는 汚染된 酸化物 皮膜部에서 孔蝕이 發生한다. 鹽素이온이 不働態를 防護하고 皮膜破壞를 促進시키는 影響을 調査하기 위하여 Hoar<sup>6)</sup>는 金屬／溶液 및 酸化物／溶液界面에서 陰이온 및 물分子의 相對的인 吸着이 陰이온濃度

와 電位에 影響받는 項으로 다루었다. 즉 強하게 吸着된 陰이온들은 吸着된 채 서로斥力이 作用하므로 酸化物에 슬립(slip)을 일으켜 龜裂을 形成하여 蝕孔의 核이 된다. 이것이 所謂 機械的 破壞過程이다. 孔蝕이 發生하기 以前의 感應時間은 酸化皮膜을 通하여 鹽素이온이 貫通하여 들어가는데 必要한 時間과 관계되므로 것으로 다루었다.

### 2) 競爭吸着說(competitive adsorption theory)

不働態의 破壞에 關한 競爭吸着說의 아이디어는 Kabanov etc<sup>9)</sup>와 Kolotyrkin<sup>10)</sup>에 依하여 提案되었는데 그후 Uhlig etc<sup>7), 11), 12)</sup>이 具體的으로 研究論議하였다.

金屬表面에 接觸한 鹽素이온은 金屬이온의 水和(hydration)를 도와 주어 金屬이온이 溶液中에 쉽게 溶解하도록 하여 주는데 이것은 吸着된 酸素가 金屬의 溶解속도를 減少시켜 주는 것과는相反되는 效果이다. 吸着鹽素이온에 依하여 交換電流密度(exchange current density)는 增加하고 金屬溶解의 過電壓은 減少한다.

Kolotyrkin<sup>10)</sup>은 鹽素이온濃度가 어느 限界值以上으로 되면 不働態皮膜의 缺陷部에서 皮膜을構成하는 酸素와 置換하여 化學吸着하므로 金屬은 쉽게 鹽素錯이온으로 되어 溶解하므로 孔蝕을 生成한다고 主張하였다.

Uhlig etc<sup>7)</sup>은 鹽素이온을 含有하는 溶液에서  $\text{OH}^-$ ,  $\text{NO}_3^-$ ,  $\text{SO}_4^{2-}$  및  $\text{ClO}_4^-$  이온들이 孔蝕을 抑制하는 作用을 觀測하고 Kabanov 와 Kolotyrkin의 置換理論을 適用하여 이들 陰이온들이 鹽素이온의 吸着을妨害한다고 생각하였다. 즉  $\text{OH}^-$ ,  $\text{NO}_3^-$ ,  $\text{SO}_4^{2-}$  이온들은 不働態皮膜을 破壞하거나 孔蝕을 發生시키지 않는다. 이들 이온들은 不働態皮膜上의 基點을 놓고 鹽素이온과 競爭的으로 吸着하기 때문에 鹽素이온單獨으로 存在할 때에 比하여 吸着된 酸素와 鹽素이온의 相互交換을 成功시키는데妨害 또는 抑制하는 役割을 하는 것이다. 이들 抑制이온들이 存在할 경우 不働態의 破壞는 表面의 鹽素이온濃度를 增加시켜 주어야 되기 때문에 電極電位를 한층 貴한 價(noble value)으로 變化시키 주어야 發生한다. 다시 말하면 높은 臨界電位를 갖게 된다. 臨界電位 이하에서는 鹽素이온은 吸着된 酸素와 置換 할 수 없으므로 不働態皮膜은 그대로 남아 孔蝕은 일어나지 않는다.

위 두가지 理論以外에도 U. R. Evans etc<sup>3)</sup>은 酸化皮膜의 氣孔(pore)을 通하여 鹽素이온이 侵透하여 들어간다고 하였고 Sato<sup>14)</sup>는 皮膜에 作用하는 電場應力과 皮膜의 表面張力의相互作用에 依하여 不働態皮膜이 破壞된다고 하였으며 Vetter<sup>15)</sup>는 金屬의 酸化物皮膜과 할로겐화物皮膜의 熱力學的 安定性을 比較하여 孔

蝕의 發生을 論하였다.

### 3. 孔蝕의 感應時間(induction time)

定電位分極(potentiostatic polarization) 測定에서 不動態皮膜이 安定한 溶液 및 電位域에서 定電位를 維持하면서 通正量의 鹽素이온을 液中에 加하여 주변 온마동안의 時間이 지나고 나서 電流密度가 急擊히 上昇한다. 이때 鹽素이온을 添加한 후 電流密度가 增加하기始作할 때까지의 時間을 孔蝕의 感應時間이라고 한다. Hoar 및 Jacob<sup>16)</sup>는 18-8 스텐레스鋼을 脱氣된 0.01M H<sub>2</sub>SO<sub>4</sub> (pH≈2) 水溶液中에서 標準水素電極에 對한 電位(Eh)로 800mV에서 鹽素이온의 添加濃度를 變化시키면서 感應時間 to 調査한 결과 Fig. 2를 얻었다. 이들은  $1/\tau$  ( $\tau$ 는 感應時間)을 不動態破壞過程의 速度로 추측하여  $\log \tau$  vs  $\log Cl^-$  曲線의 기울기가 鹽素이온濃度의 n 乘에 비례함을 보았다. 즉 破壞過程의 移移狀態는 2.5~4.5 개의 鹽素이온을 含有하며 약 60k cal/mole의 대단히 높은 活性化 에너지를 가지므로 酸化皮膜의 弱한 汚染이 進行된다고 說明하였다.

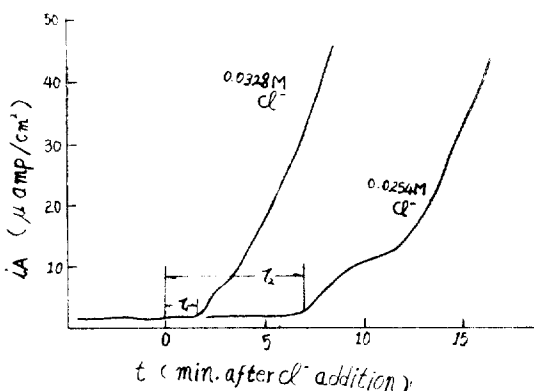


Fig. 2 Typical current density/time curves, 18-8 stainless steel in sulphuric acid, showing effect of chloride addition, 25°C. (Hoar & Jacob)

Schwenk<sup>2)</sup>는 空氣中에서 不動態化시킨 스텐레스鋼皮膜에 對하여 K<sub>3</sub>(Fe(CN)<sub>6</sub>) 溶液中測定 결과 感應時間이 鹽素이온濃度에 反比例함을 確認하였다.

定電流分極(galvanostatic polarization) 實驗에 있어서는 感應時間동안 電位의 變動이 없으나 感應時間 이후에는 皮膜의 破壞가 發生하여 電位가 점차 降低한다. 純鐵을 1N H<sub>2</sub>SO<sub>4</sub> 溶液中에서 1mA/cm<sup>2</sup>의 電流密度로 不動態化시킨 다음  $3 \times 10^{-3}$ N Cl<sup>-</sup> 이온을 添加후 電位變化를 测定한 Stolica의 實驗<sup>17)</sup>結果는 Fig. 3과 같다.

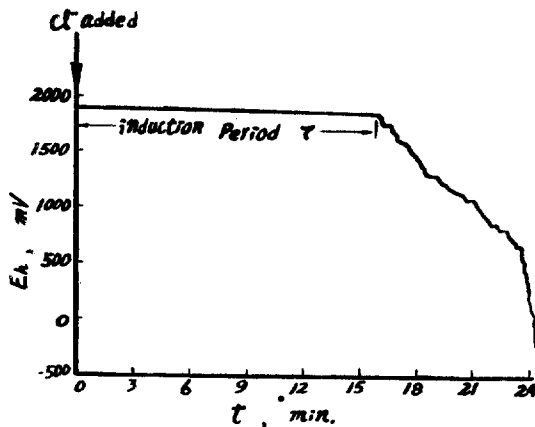


Fig. 3. Potential-time curve for pure iron in  $1N H_2SO_4 + 3 \times 10^{-3} N Cl^-$ ,  $1mA/cm^2$ . (Stolica)

添加해 주는 鹽素이온濃度를 增加시키면서 感應時間 to 測定하여 본 結果  $1/\tau = k [(Cl^-) - a]$  關係가 成立됨을 考察하고  $1/\tau$  vs  $(Cl^-)$  線의 外挿에 依하여 感應時間이 無限大로 되는 鹽素이온濃度를 決定하였다. (Fig. 4 참조)

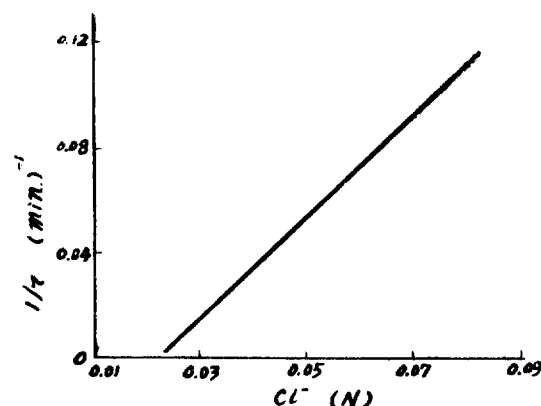


Fig. 4. Variation of the reciprocal induction time with Cl<sup>-</sup> concentration of 5.6 Cr-Fe in 1N H<sub>2</sub>SO<sub>4</sub>, 1mA/cm<sup>2</sup>. (Stolica)

이濃度以上에서는 孔蝕이 發生하고 以下에서는 孔蝕이 일어나지 않기 때문에 이最少이온濃度를 孔蝕의 臨界濃度라고 한다. 크롬鋼에 있어서 크롬含量의增加에 따른 臨界 鹽素이온濃度는 Stolica의 測定<sup>18)</sup>에 依하여 Table 1과 같다.

定電位 및 定電流分極 測定 모두 鹽素이온濃度와 感應時間 사이에는 反比例 關係가 成立하므로 鋼에 있어

Table 1. Minimum Cl<sup>-</sup> concentration necessary for attack on Fe-Cr alloys at hydrogen ion concentration = 1N.

Alloy	Cl <sup>-</sup> (N)
Fe	0.0003
5.6% Cr-Fe	0.017
4.6% Cr-Fe	0.069
20.0% Cr-Fe	0.1
24.5% Cr-Fe	1.0
29.4% Cr-Fe	1.0
18.6% Cr-9.9% Ni-Fe	0.1

서臨界濃度의 크기는 鹽素이온에 依한 孔蝕에 對한 敏感度를 評價할 수 있는 尺度라고 할 수 있다.

#### 4. 臨界電位(critical potential)

鐵鋼은 一般的으로 鹽素이온보다 酸素와 더 큰 親化力を 갖는다. 그러나 鐵鋼表面의 電位가 점차 貴하게 될 때 따라 靜電氣的인 引力에 依하여 材料表面에서의 鹽素이온濃度는 增加하게 되고 드디어 吸着된 酸素와

材料의 耐蝕性을 말하여 주는 것으로 腐蝕性 霧露氣中에서 여러 가지 合金들의 孔蝕敏感度를 表示해 주는 있는 한가지 尺度라고 할 수 있다. 즉 臨界電位 以下에서는 安定한 不働態를 保存하고 이 電位 以上에서는 活性基點과 不働態가 共存하여 活性基點에 孔蝕을 發生시키므로 同一한 腐蝕性 환경에서 臨界電位值가 같은 材料일수록 孔蝕抵抗이 큰 材料인 것이다.

18-8 스텐레스鋼을 Leckie<sup>19)</sup>는 0.1N NaCl 中 臨界電位值보다 0.1V 낮은一定電位에서 14週間 分極시켰으나 孔蝕이 일어나지 않았다. 스텐레스鋼에서 臨界電位는 鹽素이온濃度의 增加에 따라 極貴한 方向으로 移動하고 pH 增加 및 溫度降低에 따라 貴한 方向으로 移動한다(Fig. 5 and 6). 여러 가지 金屬 및 合金들의 臨界電位는 Table 2와 같다.

安定한 不働態皮膜을 갖는 크롬이나 티탄은 高은 臨界電位를 가진다. 鐵鋼中 合金元素의 添加나 热處理等에 依하여 臨界電位值는 많은 영향을 받는다.

크롬 및 니켈含量의 增加는 Fig. 7<sup>20)</sup>, Fig. 8에 依하여 臨界電位를 向上시킨다.

N. D. Tomashov etc<sup>21)</sup>는 18 Cr-14Ni 스텐레스鋼에 여러 가지의 合金元素 含量을 增加시켜 热處理 前後에

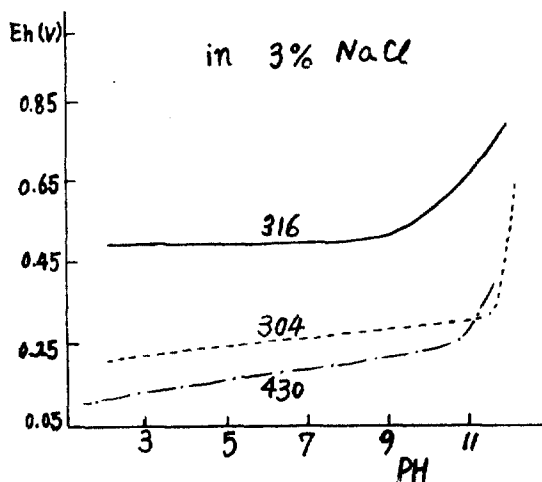


Fig. 5 Dependence of the critical Potential upon pH (Z. Szklarska)

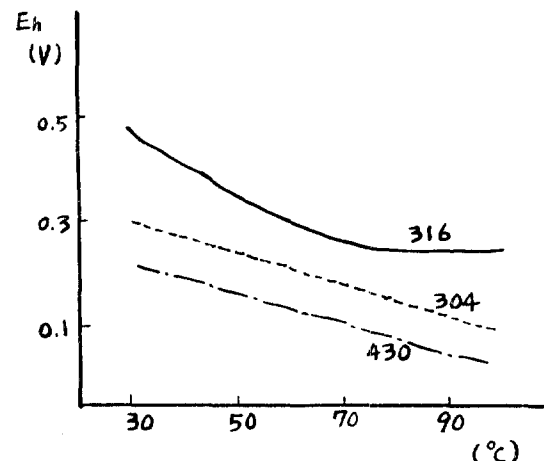


Fig. 6. Effect of temperature on the critical potential of 316, 304 and 316 steels in 3% NaCl solution. (Z. Szklarska)

置換할 수 있는 값에 도달한다. 觀測된 感應時間은 材料表面의 바람직스런 (또는 가장 敏感한) 基點에서 競爭吸着을 成功시키는데 必要한 時間이다. 酸素와 置換吸着된 鹽素이온은 잘 溶解될 수 있는 鹽化物를 形成하므로 金屬의 陽極過電壓을 減少시켜 基點의 不働態를 破壊하게 된다.

不働態皮膜의 破壊가 시작되는 電位는 孔蝕에 對한

臨界電位值의 變化를 調査하였다. Fig. 9는 그들에 依하여 밝혀진 合金元素들의 含量이 臨界電位에 미치는影響을 보여 준다.

Mo, V 및 Si는 5% 添加시 耐孔蝕性에 明顯한 增加를 보이며 Re는 1% 以下에서도 대단히 効果的이다.

Leckie 와 Uhlig<sup>22)</sup>는 18-8 스텐레스鋼에서 孔蝕의 臨界電位에 미치는 여러 환경인자들에 대하여 研究하였

Table 2. Critical pitting potential.

Metal or Alloy	Critical potential (Volt vs NHE)	Solution	Other Conditions	Reference
Mg	-1.419	1N NaCl	--	1
Al	-0.509	1N NaCl	--	1
"	-0.37	0.1N NaCl	25°C	12
Zr	0.38	1N NaCl	--	1
"	0.45	0.1N NaCl	--	1
Ni	0.28	0.1N NaCl	25°C	20
Cr	>1.0	"	"	21
Ti	>1.0	"	"	22
	≥1.0	"	"	22
13 Cr-Fe	0.32	0.1N NaCl	--	1
17 Cr-Fe	0.36	"	--	1
28 Cr-Fe	0.75	"	--	1
22 Cr-0.5Ti-Fe	0.36	"	--	1
22 Cr-2Ni-Fe	0.42	"	--	1
22 Cr-12Ni-Fe	0.47	"	--	1
26 Cr-0.1Mo-Fe	0.70	1N NaCl + 0.1NHCl	25°C, 621°C 2Hr annealed	23
26Cr-1.0Mo-Fe	0.77	"	" , "	"
26 Cr-1.8Mo-Fe	1.01	"	" , "	"
26 Cr-2.6Mo-Fe	1.13	"	" , "	"
18 Cr-14Ni-Fe	0.659	0.1N NaCl	20°C, 650°C 2Hr annealed	24
"	0.644	"	" , 1150°C water quenched	"
18 Cr-14Ni-5Mo-Fe	0.810	"	" , 650°C 2Hr annealed	"
"	1.20	"	" , 1150°C water quenched	"
18 Cr-14Ni-5V-Fe	0.744	"	" , 650°C 2Hr annealed	"
"	>1.50	"	" , 1150°C water quenched	"
18 Cr-14Ni-5Si-Fe	0.629	"	" , 650°C 2Hr annealed	"
"	>1.50	"	" , 1150°C water quenched	"
18Cr-9Ni-1.24Mn-Fe (AISI 304)	0.928	0.1N KHCO <sub>3</sub> , 0.1N KCl	22°C, scan rate 500mV/Hr	25
"	0.892	"	" , " 250mV/Hr	"
"	0.886	"	" , " 166mV/Hr	"
"	0.864	"	" , " 41.6mV/Hr	"

다. Fig. 10 은 0.5N NaCl 용액중에서 Na<sub>2</sub>SO<sub>4</sub> 浓度를增加시킬 때 臨界孔蝕電位의變化를 보이는 것으로 SO<sub>4</sub><sup>2-</sup> 이온濃度의增加와 더불어 臨界電位는 貴電位로 移動한다. 0.15M Na<sub>2</sub>SO<sub>4</sub> 以上에서는 臨界電位는 나타나지 않으며 따라서 孔蝕도 發生하지 않는다. 즉 SO<sub>4</sub><sup>2-</sup> 이온은 鹽素이온에 의한 孔蝕에 抑制作用을 하는 것이다. 이와 같은 孔蝕抑制効果를 보이는 陰이온으로서는 SO<sub>4</sub><sup>2-</sup> 이외에 OH<sup>-</sup>, NO<sub>3</sub><sup>-</sup>, ClO<sub>4</sub><sup>-</sup>, acetate<sup>-</sup> 등을 들 수 있다. 鹽素이온에 의한 孔蝕을 抑制하는데에 必要한 다른 陰이온濃度는 Uhlig 와 Gilman<sup>11</sup> 와 Freundlich 吸着等溫式을 使用하여 誘導한 關係式에 의하여 다음과

수 있다. 不働態表面上에 陰이온들이 競爭吸着時에 어떤 鹽素이온 活動度에 抑制効果를 나타낼 수 있는 最小抑制이온 活動度는 다음과 같다.

$$\log(Cl^-) = 1.62 \log(OH^-) + 1.84$$

$$= 1.88 \log(NO_3^-) + 1.18$$

$$= 0.85 \log(SO_4^{2-}) - 0.05$$

$$= 0.83 \log(ClO_4^-) - 0.44$$

$$= 1.13 \log(Acetate^-) + 0.06$$

抑制効果는 다음과 같은 順位로 減少한다.

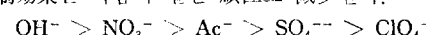


Fig. 11 은 鹽素이온活動度와 孔蝕抑制에 必要한 最

小  $\text{SO}_4^{2-}$  및  $\text{ClO}_4^-$  이온活動度와의 關係를 보인 것이다.

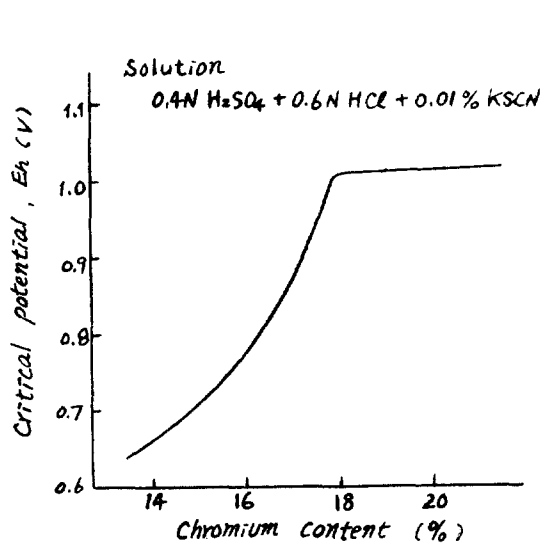


Fig. 7. Effect of Cr content on critical potential in Fe-Cr-12Ni-1Mo steel. (Tousek)

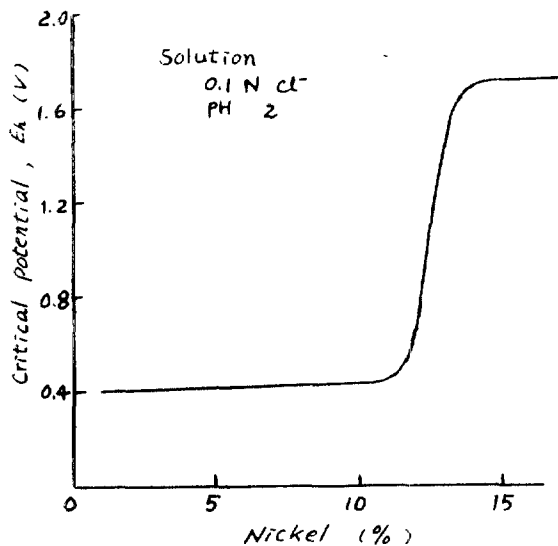


Fig. 8. Dependence of critical potential on Ni content of Fe-22Cr-Ni alloys. (Kolotyrkin)

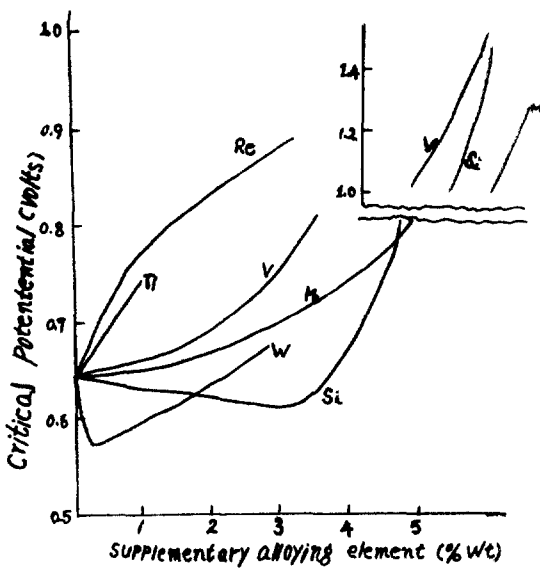


Fig. 9. Effect of alloying elements on the critical potential of 18Cr-14Ni Steel in 0.1N NaCl at 25°C. (Tomashevetc.)

Szklarska etc<sup>27)</sup>는 13Cr-Fe 및 16Cr-Fe合金의 定電流分極實驗에서 孔蝕進行時 電位의 週期的인 오설

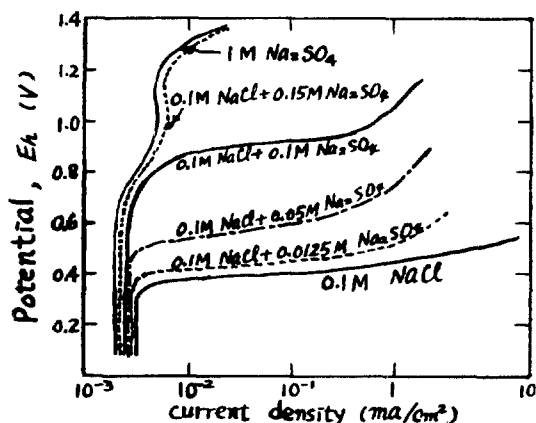


Fig. 10. Potentiostatic polarization curves in 0.1M NaCl showing increasing noble values of the Critical potential with additions of  $\text{Na}_2\text{SO}_4$ . (Leckie and Uhlig)

레이션(oscillation)을 觀測하였다. 이것은 鹽素이온에 의한 蝕孔의 核生成過程時  $\text{SO}_4^{2-}$  이온의 抑制作作用이 주要적으로 再不働態시킬려는 傾向으로 일어나기 때문이라고 解釋된다.

臨界電位에 미치는 pH의 影響은 Fig. 5에서와 같이 酸性領域에서는 별 變化가 없지만 碱性領域 pH 11以上에서 급격히 上昇한다. 이것은 (水素이온濃度가 臨界電位에 큰 영향을 주지 않는 대신) OH<sup>-</sup>이온을

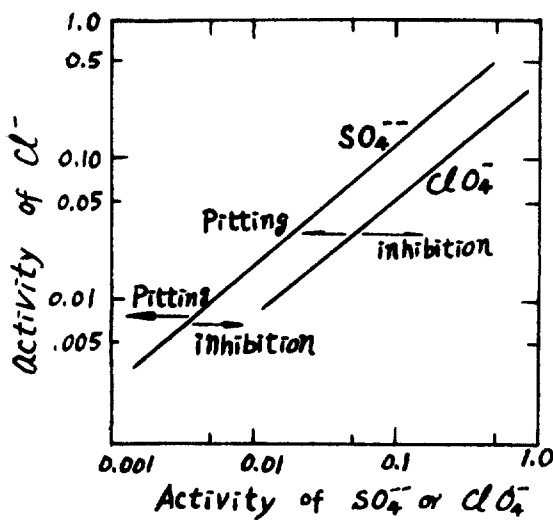


Fig. 11. Activity of  $\text{SO}_4^{2-}$  or  $\text{ClO}_4^-$  required to inhibit pitting as a function of  $\text{Cl}^-$  activity at 25°C. (Leckie and Uhlig)

鹽素이온에 陰이온抑制作用을 하여 臨界電位를 낮아지는 것으로 생각된다.

溶液의 溫度가 臨界電位에 미치는 影響은 Fig. 6와 같다. 溫度의 上昇은 이온易動度(mobility)를 增加시켜 臨界電位를 낮추므로 孔蝕發生이 容易하게 된다. Brigham과 Tozer<sup>28)</sup>는 오스테나이트계 스텐레스鋼에 Mo含量을 增加시킨 試片들에 있어서 溫度를 變化시켜서  $10\mu\text{A}/\text{cm}^2$ 의 電流密度를 보이는 電位值를 定電位分極曲線에서 調査하여 孔蝕이 發生하는 條件으로 삼고 각각의 合金에 대하여  $10\mu\text{A}/\text{cm}^2$ , 500mV를 나타내는 溫度를 決定하여 Mo含量과의 關係를 調査하였는데 500mV에서  $10\mu\text{A}/\text{cm}^2$ 의 電流密度를 지니는 溫度를 臨界孔蝕溫度(CPT; Critical pitting temperature)라고 하면 Mo含量과는 다음과 같은 關係가 成立하였다.

$$\text{CPT } (\text{°C}) = 10 + 7 \times \% \text{ Mo}$$

이것은 Mo을 合金元素로 넣어 주면 높은 溫度溶液中 오스테나이트계 스텐레스鋼의 耐孔蝕特性이 向上됨을 意味한다.

## 5. 孔蝕發生 基點

孔蝕의 核이 어느 곳에서 生成되겠는가는 興味있는 問題이다. 孔蝕發生의 機構が 不働態의 破壞라는 面模을 지니고 있기 때문에 孔蝕核生成 場所도 不働態皮膜이 不安定한 位置라고 생각된다. 不安定한 不働態皮膜은 金屬表面上에 存在하는 여러가지 物理化學的 不均

質(Heterogeneity) 또는 缺陷들에 起因한다고 보는 것이 妥當하다. 金屬素材의 表面에는 粒界, 非金屬介在物, 슬립밴드(slip band) 및 轉位 등의 缺陷이 存在한다. 孔蝕發生基點과 이들 缺陷과의 相互關係에 대하여는 아직 確定된 理論이 欲하지만 孔蝕의 發生基點을 表面上의 不均質性과 關連시켜 考察한 研究가 많이 進行되었다. Streicher<sup>29)</sup>는 18-8 스텐레스鋼이 浸漬試驗이나 電解促進試驗에서 모두 粒界에 孔蝕을 形成함을 觀測하였다. Tomashov etc<sup>30)</sup>도 18-Cr-14Ni 스텐레스鋼에 Mo, V 및 Si 등을 添加元素로 合金시켜 孔蝕을 研究했는데 孔蝕의 主基點은 粒界임을 確認하였다.

粒界는 第二相의 析出, 不純物의 集積 및 原子配列의 misfit 등에 의하여 不働態의 弱脆基點으로 考慮된다.

敏愘化處理된 스텐레스鋼의 경우에는 粒界는 Cr缺乏뿐 아니라 複炭化物의 析出에 의하여 不働態를 安定화시키는 合金元素의 化學的 不均質性이 增加하기 때문에 Table 2에서 보는 바와 같이 이와같은 合金은 낮은 臨界電位를 갖게 되고 孔蝕이 잘 일어난다. 또 Cr-Ni鋼에 있어서 結晶粒 크기의 增加는 臨界電位를 높이는데 이것은 粗大한 結晶粒 일수록 不均質 介在物을 含有하고 있는 粒界面積을 줄이기 때문에 孔蝕의 敏愘度를 減少시키기 때문이다.

Rarey etc<sup>31)</sup>과 Szklarska etc<sup>32)</sup>도 크롬鋼에서 粒界에 孔蝕을 觀察했는데 특히 後者は 粒界에서 發生한 孔蝕의 周圍 粒內로의 成長速度가 서로 다름을 說明하였다.

黃化物 介在物이 鋼의 腐蝕에 미치는 影響을 考察한 Wranglen<sup>33)</sup>은 FeS는 낮은 水素過電壓를 갖는 正的電子傳導體이므로 鋼에 局部的 腐蝕電池를 形成한다고 主張하였다. 反面 낮은 Fe含量을 지닌 MnS는 負的傳導體이므로 위와 같은 腐蝕電池를 形成하지 않으나 MnS는 酸에 잘 녹는 特性을 갖는다.

Szklarska<sup>32)</sup>는 鹽素이온中 스텐레스鋼 및 軟鋼의 腐蝕을 調査하였으며 孔蝕核生成이 가장 敏愘한 基點은 마이크로프로브(microprobe) 分析에 의하여 MnS 介在物임을 確認하였다. 스텐레스鋼에서는 孔蝕은 主로 알루미늄 및 크롬酸化物 粒子를 둘러 싸고 있는 망간 및 鐵의 混合黃化物에서 發生하고 軟鋼에서는 主로 分散되어 있는 MnS 粒子에서 形成됨을 알았다.

黃化物 介在物은 아마도 孔蝕核生成의 가장 活性있는 基點으로 생각되지만 黃化物이 없는 材料의 活性이 약한 位置에서도 孔蝕이 發生할 수 있음도 考慮되어야 한다.

## 6. 孔蝕對策

以上의 考察을 通하여 孔蝕을 피하기 위한 一般的의 몇 가지 對策을 綜合하면 다음과 같다.

- 1) 材料가 使用되는 분위기에서 臨界電位 以下로 維持하도록 陰極防蝕을 실시한다.
- 2) 몰리브덴과 같은 不働態를 安定化시키는 合金元素를 18-8 스텐레스鋼에 添加한다.
- 3) 鹽素이온의 孔蝕에 抑制作用을 하는 陰이온(OH<sup>-</sup>, NO<sub>3</sub><sup>-</sup> 등)을 溶液에 添加한다.
- 4) 鋼材料內의 孔蝕發生基點 역 할을 하는 非金屬介在物 含量을 減少시킨다.
- 5) 酸素나 酸化劑濃度를 減少시키거나 均一하게 維持시킨다.
- 6) 可能하면 낮은 溫度에서 材料를 使用한다.
- 7) 材料表面을 精密 研磨하여 使用한다.

### 後 記

本小考는 韓國腐蝕學會 1973年 研究獎勵金에 依한 腐蝕研究의 文獻調査를 通하여 이루어 こえ을 밝히며 이와같은 調査 바침을 하여 준 韓國腐蝕學會 任員들께 깊은 謝意를 드립니다.

### 引 用 文 獻

- 1) J. M. Kolotyrkin, Corrosion, **19**, 261 t (1963)
- 2) W. Schwenk, ibid., **20**, 129t (1964)
- 3) H. H. Uhlig, Corrosion and Corrosion Control, p 309, John Wiley & sons Inc, 2nd edition (1971)
- 4) Z. Szklarska-Smialowska, Corrosion, **27**, 223 (1971)
- 5) 梶野秀夫, 防蝕技術, **18**, 1 (1969)
- 6) T. P. Hoar, Corrosion Science, **7**, 341(1967)
- 7) H. P. Leckie and H. H. Uhlig, J. Electrochem. Soc., **113**, 1262(1966)
- 8) T. P. Hoar, D. C. Mears and G. P. Rothwell, Corrosion Science, **5**, 279(1965)
- 9) B. Kabanov, R. Burstein and A. Frumkin, Discussions Faraday Soc., **1**, 259(1947)
- 10) J. M. Kolotyrkin, J. Electrochem. Soc., **108**, 209(1961)
- 11) H. H. Uhlig and J. R. Gilman, Corrosion, **20**, 289t(1964)
- 12) H. Böhni and H. H. Uhlig, J. Electrochem. Soc., **116**, 906(1969)
- 13) U. R. Evans, L. C. Bannister and S. C. Britton, Proc. Roy. Soc., A, **131**, 367(1931)
- 14) N. Sato, J. Japan Institute of metals, **34**, 615 (1970)
- 15) K. J. Vetter, Ber. Bunsenges. Phys. Chem., **69**, 683(1965)
- 16) T. P. Hoar and W. R. Jacob, Nature, **216**, 1299 (1967)
- 17) N. Stolica, Corrosion Science, **9**, 205(1969)
- 18) N. Stolica, ibid., **9**, 455(1969)
- 19) H. P. Leckie, J. Electrochem. Soc., **117**, 1152 (1970)
- 20) J. Horvath and H. Uhlig, ibid., **115**, 791(1968)
- 21) N. Greene, C. Bishop, and M. Stern, ibid., **108**, 836(1961)
- 22) C. Hall, and N. Hackerman, J. Phys. Chem., **57**, 262(1953)
- 23) C. R. Rarey and A. H. Aronson, Corrosion, **28**, 255(1972)
- 24) N. D. Tomashov, G. P. Chernova and O. N. Marcova, ibid., **20**, 166t(1964)
- 25) A. A. Seys and A. A. van Haute, ibid., **29**, 319 (1973)
- 26) J. Tousek, Corrosion Science, **6**, 105(1966)
- 27) Z. Szklarska-Smialowska and Janik-Czachor, B. Corros. J., **4**, 138(1969)
- 28) R. J. Brigham and E. W. Tozer, Corrosion, **29**, 33(1973)
- 29) M. A. Streicher, J. Electrochem. Soc., **103**, 375(1956)
- 30) Z. Szklarska-Smialowska and Janik-Czachor, Corrosion Science, **7**, 65(1967)
- 31) G. Wranglen, ibid., **9**, 585(1969)
- 32) Z. Szklarska-Smialowska, Corrosion, **28**, 388(1972)